文章编号:1002-2082(2001)05-0012-04

用 ABCD 矩阵法计算四 通式单光栅展宽器的展宽量

赵玲慧1,白晋涛2,贺晓旭1,侯洵1,2

(1. 西北大学光子学与光子技术研究所,陕西 西安 710069; 2. 中国科学院西安光学精密机械研究所,陕西 西安 710068)

摘 要: 以激光束的 ABCD 传输矩阵理论及 Collins 积分公式为基础, 计算简单实用的四通式单光栅展宽器的色散量, 并求出相应展宽量。

关键词: 四通式单光栅展宽器; ABCD 传输矩阵; Collins 公式; 群速度色散量; 啁啾

中图分类号:TN249 文献标识码:A

引言

近年来, 啁啾脉冲放大技术(CPA) 在钛宝 石激光放大系统中的应用已经成功地获得了 脉宽小于 10fs、峰值功率高达太瓦量级(10¹² W) 的激光脉冲, 这为强场物理、生物化学等许 多研究领域创造了前所未有的机遇。在包括展 宽一放大-压缩过程的飞秒激光放大系统中, 基于互逆的展宽和压缩过程,由于对后者的理 论研究已经相当成熟,近年来的技术发展主要 集中在展宽器的设计和创新上。可以说, CPA 系统的每一次重要进展都是因展宽器的更新 而引起的。如何设计出简单易操作的展宽器, 并获得较大的展宽量,一直是人们所关心的问 题。本文针对一种简单实用的四通式单光栅展 宽器[1], 应用 ABCD 矩阵传输理论计算了其色 散量,并求出相应展宽量,分析了展宽比与其 相应参数的关系,获得与其它理论相同的结 果。

1 用 ABCD 矩阵法计算四通式单光栅展宽器的展宽量

1.1 四通式单光栅展宽器的结构

图 1 为四通式单光栅展宽器的平面示意图。

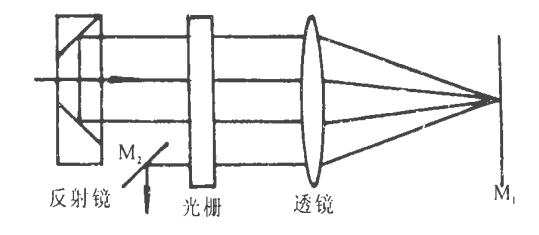


图 1 四通式单光栅展宽器结构示意图

 $\label{eq:Fig-1} \begin{array}{ll} \textbf{ Diagrammatic sketch of four pass} \\ & \textbf{ single grating stretcher} \end{array}$

光栅为镀金全息光栅。为减小透镜材料引起的高阶色散,透镜焦距相当大,视为薄透镜,且消像差,其焦距为f,其余都为平面反射镜。最后展宽光束通过光栅从 M^2 出射。为了便于运算,将图 1 等效为如图 2 所示光路图。

收稿日期:2001-03-06

基金项目:国家攀登计划"飞秒脉冲放大系统的研究",95 预选项目,项目号:95-预-20。

作者简介:赵玲慧(1975-),女,汉族,陕西宝鸡人,西北大学光子学与光子学技术研究所硕士研究生,主要从事飞秒钛宝石激光放大系统的研究。

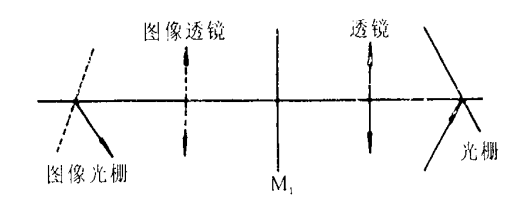


图 2 四通式单光栅展宽器等效图

Fig. 2 Equivalent diagram of four pass single grating stretcher

四诵式单光栅展宽器色散量的计算

1.2

假设入射脉冲具有高斯形空间分布,其振幅谱分布为

$$\mathbf{\alpha}(x_0, w) = \mathbf{\alpha}(w) \exp\left[-\frac{ikx_0^2}{2q(d)}\right] \qquad (1)$$
其中 $q(z) = z + ikw_0^2/2, w_0$ 是高斯光束的束

腰半径, z 为束腰和光栅之间的距离。

对(1) 式进行空间傅里叶变换,并考虑到 光栅衍射方程(假定色散发生在 x z 平面), 然后进行空间傅里叶逆变换,得到入射高斯光 束经过光栅衍射后的出射光束为 $^{[2,3]}$

$$\mathbf{\alpha}_{(x^1,w)} = c_1 \mathbf{\alpha}_{w)} \exp \left[-\frac{ik \overset{2}{\mathbf{\alpha}}_{x_1^2}}{2q(d)} \right] \exp(ik \beta_{wx_1})$$
 (2)

其中 $\alpha = -\frac{\cos X}{\cos \theta}$, $\beta = \frac{\lambda}{2\pi d \cos \theta}$, λ 为对应中心波长的入射角, θ 为衍射角,为光栅常数。出射后的光束将经历如图 2 的光学系统,在到达像光栅之前的光学系统的 ABCD 矩阵为

$$\begin{bmatrix} A & B \\ C & D \end{bmatrix} = \begin{bmatrix} 1 & z \\ 0 & 1 \end{bmatrix} \begin{bmatrix} 1 & 0 \\ -\frac{1}{f} & 1 \end{bmatrix}$$
$$\begin{bmatrix} 1 & 2f \\ 0 & 1 \end{bmatrix} \begin{bmatrix} 1 & 0 \\ -\frac{1}{f} & 1 \end{bmatrix} \begin{bmatrix} 1 & z \\ 0 & 1 \end{bmatrix}$$
$$= \begin{bmatrix} -1 & 2(f - z) \\ 0 & -1 \end{bmatrix}$$

可以得出:A = -1, B = 2(f - z), C = 0, D = -1。令B = 2(f - z) = b,则出射光线到达像光栅时在该光学系统内的光程为[4]

$$L(x_1, x_2) = \frac{1}{2B} (A x_1^2 - 2x_1 x_2 - D x_2^2)$$

= $\frac{1}{2b} (-x_1^2 - 2x_1 x_2 - x_2^2)$ (3)

根据 Collins 公式,在像光栅上的振幅谱分布:

$$\mathbf{Q}(x_2, w) = \frac{i}{\lambda} \int_{-\infty}^{+\infty} \mathbf{Q}(x_1, w) \exp \left[-ikL(x_1, x_2) dx_1\right]$$

带入(3)式,利用傅里叶积分变换公式,有:

$$\alpha(x^{2},w) = c^{2} \alpha(w) \exp \frac{ikx^{2}}{2b}$$

$$\exp \frac{ikq(d)(x^{2} + \beta_{w}b)^{2}}{2bq(d - \mathring{\alpha}b)}$$
(4)

此系统为对称结构,光束对于像光栅的入射角即为对光栅的衍射角。类似于从(1)式到(2)式的过程,可求得从像光栅的出射光束的振幅谱分布为

$$\mathbf{\alpha}(x_3, w) = {}_{c_3} \mathbf{\alpha}_{w} \exp \left[\frac{ik \mathbf{\beta}_w^2 b}{4} \right]$$

$$\exp \left[-\frac{ik(x_3 + \mathbf{\alpha} \mathbf{\beta}_w b)^2}{q(d - \mathbf{\alpha}_b)} \right]$$
 (5)

至此,光束两次经过两次光栅。从(5)式的结果可以看到,由于透镜系统的变换,光束的空间分布项中包含了频率 w,这将导致光束的空间扩散,减弱光束质量。如果将此时的出射光束沿原路返回,也就是使光束再次经过相同的ABCD 传输矩阵,最后返回光栅。整个过程光束经历 4 次光栅衍射,最后在光栅上形成的图样如图 3 所示。

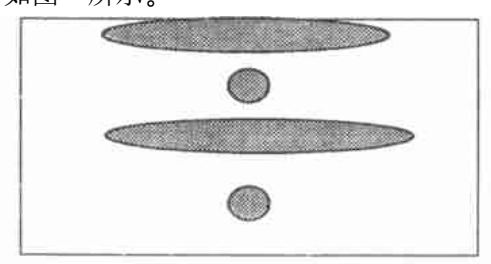


图 3 光栅衍射图样

Fig. 3 Diffraction pattern of grating

基于系统的对称性,光束的空间特性将会得到补偿,并且获得更大的色散量。重复以上步骤,可最终获得从光栅出射的光束振幅谱分布:

$$\mathbf{q}(x_4, w) = c_4 \mathbf{q}(w) \exp\left[\frac{ik \mathbf{\beta}_w^2 b}{2}\right]$$

$$\exp\left[-\frac{ikx_4^2}{a(d-2\dot{\mathbf{q}}b)}\right] \tag{6}$$

从(6)式可以得到展宽系统的群速度色散:

$$GVD = K \beta_b$$

将
$$\beta = \frac{\hat{\lambda}}{2\pi d \cos \theta}$$
 带入,可以得到:
$$GVD = \frac{\hat{\lambda}b}{2\pi^2 d^2 \cos \theta}$$
 (7)

利用 Kirchhoff-Fresne¹ 积分以及利用光栅对等效所导出的结论完全相同。由于 b 取正值,也即二阶色散量为正,如果在这里不考虑非线性啁啾,则展宽器对入射的高斯形脉冲提供了一个正的啁啾量,使得脉冲的长波部分比短波

从(7)式可以看到,我们得到的 GVD 结果与

部分传播得快,从而在时域上展宽脉冲。为了 求得展宽量,我们假设初始入射高斯脉冲的时 域振幅分布为

$$\alpha_{t_0} = \exp\left[-\frac{(1+i\Omega_1t^2)}{2^{\frac{2}{6}}}\right]$$
 (8)

其中 Ω 为初始啁啾量, τ 是指在振幅 1/e 处的 初始脉冲半宽度。

将(8)式做傅里叶变换带入(6)式,对其做逆傅里叶变换,得到出射脉冲的时域振幅分布为

$$\alpha_{(x^{4},t)} = c \stackrel{i}{}_{4} \exp \left[-\frac{ikx_{4}^{2}}{q(d-2\stackrel{\circ}{\alpha}b)} \right] \exp \left\{ \frac{ik \stackrel{\circ}{\beta}b^{2}}{2\left[\left(\frac{2}{\hbar} + k \stackrel{\circ}{\beta}b\Omega\right)^{2} + \left(k \stackrel{\circ}{\beta}b\right)^{2}\right]} \right\} \exp \left[-\frac{t^{2}(1+i\Omega)}{2\stackrel{\circ}{\pi}} \right]$$

$$\tau = \left[\left(1 + \frac{k \stackrel{\circ}{\beta}b\Omega}{\frac{2}{\hbar}}\right)^{2} + \left(\frac{k \stackrel{\circ}{\beta}b}{\frac{2}{\hbar}}\right)^{2} \right]^{\frac{1}{2}} \tau = \left[1 + \frac{\Phi^{\prime\prime}\Omega}{\frac{2}{\hbar}}\right)^{2} + \left(\frac{\Phi^{\prime\prime}}{\frac{2}{\hbar}}\right)^{2} \right]^{\frac{1}{2}} \tau$$

$$\exists \square$$

$$\frac{\tau}{\tau} = \left[\left(1 + \frac{\Phi^{\prime\prime}\Omega}{\frac{2}{\hbar}}\right)^{2} + \left(\frac{\Phi^{\prime\prime}}{\frac{2}{\hbar}}\right)^{2} \right]^{\frac{1}{2}}$$

$$(10)$$

 $\mathbf{E}(10)$ 式中,省略了关于啁啾量的二阶小量项。

可以看出,脉冲的展宽比是与群速度色散量以及初始啁啾量成正比的,而群速度色散量又与光栅常数、衍射角以及光栅与透镜之间的距离有关,如果选择合适的光学系统参数,就可以得到需要的展宽比。图 4 给出了当透镜与光栅之间的距离取值为 30cm 时的展宽比与衍射角之间的函数关系。图 5 给出了当衍射角为 33.7 射光栅与透镜之间距离的变化关系。

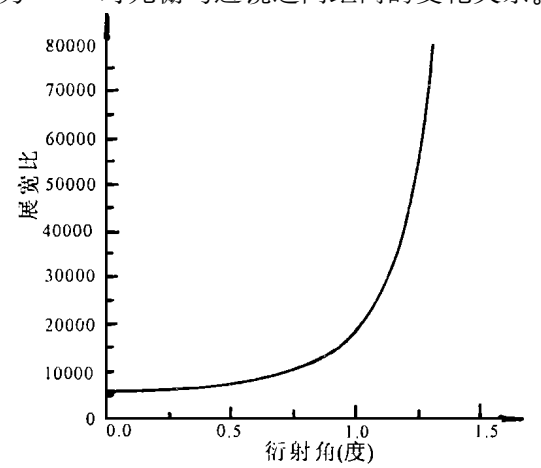


图 4 展宽比与衍射角的关系

Fig. 4 Stretch ratio vs diffraction angle 可以看出,随着衍射角的增大(也即是入射角

的减小) 和透镜与光栅之间有效距离的变小, 展宽比呈增大趋势。

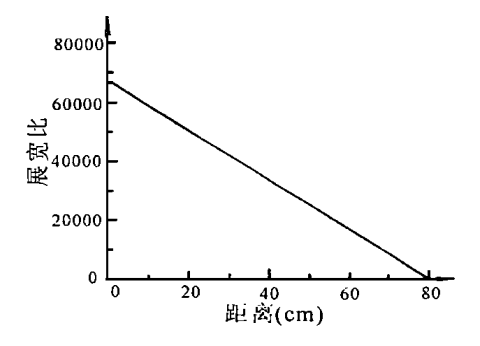


图 5 展宽比与透镜和光栅间有效距离的关系 Fig· 5 Stretch ratio vs distance of lens and grating

令初始入射的脉冲 λ = 800_{nm}, τ = 10_{fs}, θ = 33.7°, d = 1200.1/_{mm}, b = 100_{cm}, Ω = 2,则此展宽系统最终获得的脉冲宽度将为530_{ps},展宽比为 5.3 × 10^f。

从上式也可以明显看出初始啁啾对脉冲展宽的影响。由于展宽器的二阶色散为正,当 $\Omega > 0$ 时;脉冲随二阶色散单调展宽;当 $\Omega < 0$ 时,脉冲有一个初始窄化的过程;如果二阶色散很小时,这种窄化过程非常明显。设 $\Omega = 2$,初始脉冲宽度为10fs,则此窄化过程如图6所示。

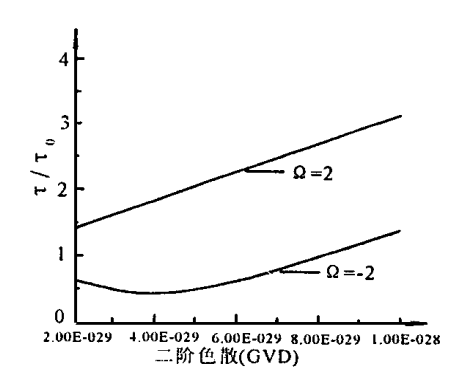


图 6 不同性质啁啾对脉冲展宽比的影响 Fig. 6 Effect of different proprty chirps on pulse stretch ratio

实际上,脉冲经过展宽器产生的二阶色散量相当大,此时对负啁啾脉冲而言,其初始窄化过程与脉冲展宽过程相比已经显得微不足道。但由于初始窄化过程相当于改变了初始脉冲宽度,而展宽比与初始脉冲的宽度的平方成正比,所以 Ω的影响还是相当大的。正啁啾脉冲展宽的原理与负啁啾脉冲相同,相当于在脉冲展宽之前已经有了一个小量的展宽,所以对于带正啁啾的初始脉冲,将会获得较高的展宽比。图 7 为不同的 Ω时所对应的脉冲展宽情况。

2 结束语

采用 ABCD 传输矩阵以及 Collins 公式 计算出了四通式单光栅展宽器的色散量以及 展宽量,与以前结论相符。还讨论了展宽系统 的

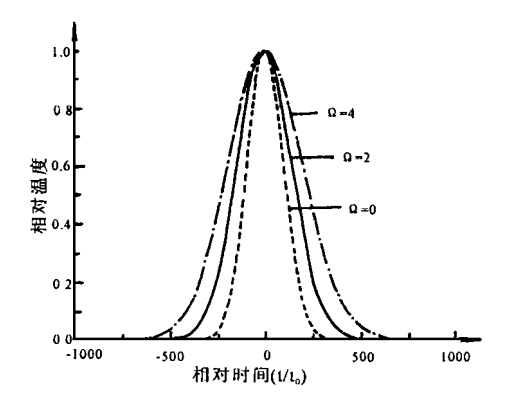


图 7 展宽脉冲受啁啾参数的影响程度 Fig. 7 The effect of stretched pulse on chirped parameter

相关参数对展宽比的影响,对 CPA 放大系统有一定的指导意义。

参考文献:

- [1] O E Martinez. 3000 times grating compressor with positive group velocity application to fiber compensation in 1.3-1.

 6 Hm Region [J]. IEEE J quantum electron, 1987, 23 (1):59-64.
- [2] O E Martinez Grating and prism compressors in the case of finite beam size [J]. J Opt Soc Am (B), 1986, 3(7):929 933.
- [3] 蒋杰,杨天新,天建等.飞秒脉冲展宽器的设计[J].光学学报,1999,17(1):59-64.
- [4] 卢亚雄, 杨亚培, 陈淑芬. 激光束传输与变换 技术[M]. 成都: 电子科技大学出版社, 1999, 93-94.

MATRIX DISPERSION OF FOUR-PASS SINGLE GRATING STRETCHER CALCULATED WITH ABCD

ZHAO Ling-hui¹, BAI Jin-tao¹, HE Xiao-xu¹, HOU Xun^{1,2}

(1. Institute of Photonics and Photo-Technology, Northwest University, Xian 710069 China; 2. Xian Institute of Optics & Precision Mechanics, Academic Sinica, Xian 710068 China)

Abstract: The dispersion and stretching rate of four-pass single grating stretcher are calculated by using laser beam ABCD transmission matrix theory and Collins calculus equation, the same results compared with other theories are attained.

Keywords:four-pass single grating stretcher; ABCD transmission matrix; collins calculus equation; group velocity dispersion; chirp